

# DOĞAL GERİLİM ÖLÇÜMLERİ İLE JEOLOJİK HARİTALARIN DEĞERLENDİRİLMESİ

## Evaluation of Geological Maps by Using Self Potential Measurements

**Ibrahim ONUR\* ve Fethi ERGÜDER\*\***

### ÖZET

MTA ve EKİ - TKİ tarafından yapılan Zonguldak Taşkömürü Havzası jeolojik haritalarında süreksizlikler ile ilgili yorum farklılıklarını görmüştür. Yorum farklılıklarının giderilmesine yardımcı olmak amacıyla Kilimli, Çatalağzı ve Gelik (Zonguldak) bölgelerindeki farklı yorumlanan süreksizlikler üzerinde doğal gerilim ölçümleri alınmıştır.

Doğal gerilim ölçümünün değerlendirilmesinden, çalışma alanlarında fayların ve dokanaklarının yerüstündeki konumları saptanmıştır. Böylece, söz konusu iki haritada yeralan bazı süreksızlıkların varlığı ya da yokluğu açığa kavuşturulmuştur. Bu veriler, ileride yapılacak ayrıntılı jeolojik çalışmalara ışık tutacaktır.

### ABSTRACT

It has been noticed that some differences exist concerning the interpretation of some discontinuities on the geological maps prepared by the MTA and EKİ - TKİ for Zonguldak Hardcoal Basin. In order to clarify these differences, self potential measurements were carried out in Kilimli, Çatalağzı and Gelik Districts on the discontinuities with conflicting interpretation.

The locations and orientations of the faults and contact zones in the areas surveyed have been determined by interpreting the self potential anomalies. As a result, the presence or absence of some of the discontinuities shown on these two maps have been verified. The data obtained will be utilized in the detailed geological studies to be carried out in the future.

### GİRİŞ

Karadon Taşkömürü İşletmesi (Kilimli, Çatalağzı, Gelik) sahaları (Şekil 1), gelecek için Türkiye Taşkömürü Kurumu (TTK) taşkömürü rezervi açısından büyük önem taşımaktadır. İşletme projeleri için sahanın yapısal jeolojisini, özellikle fayların önceden bilinmesi ve üretimin buna göre planlanması gerekmektedir.

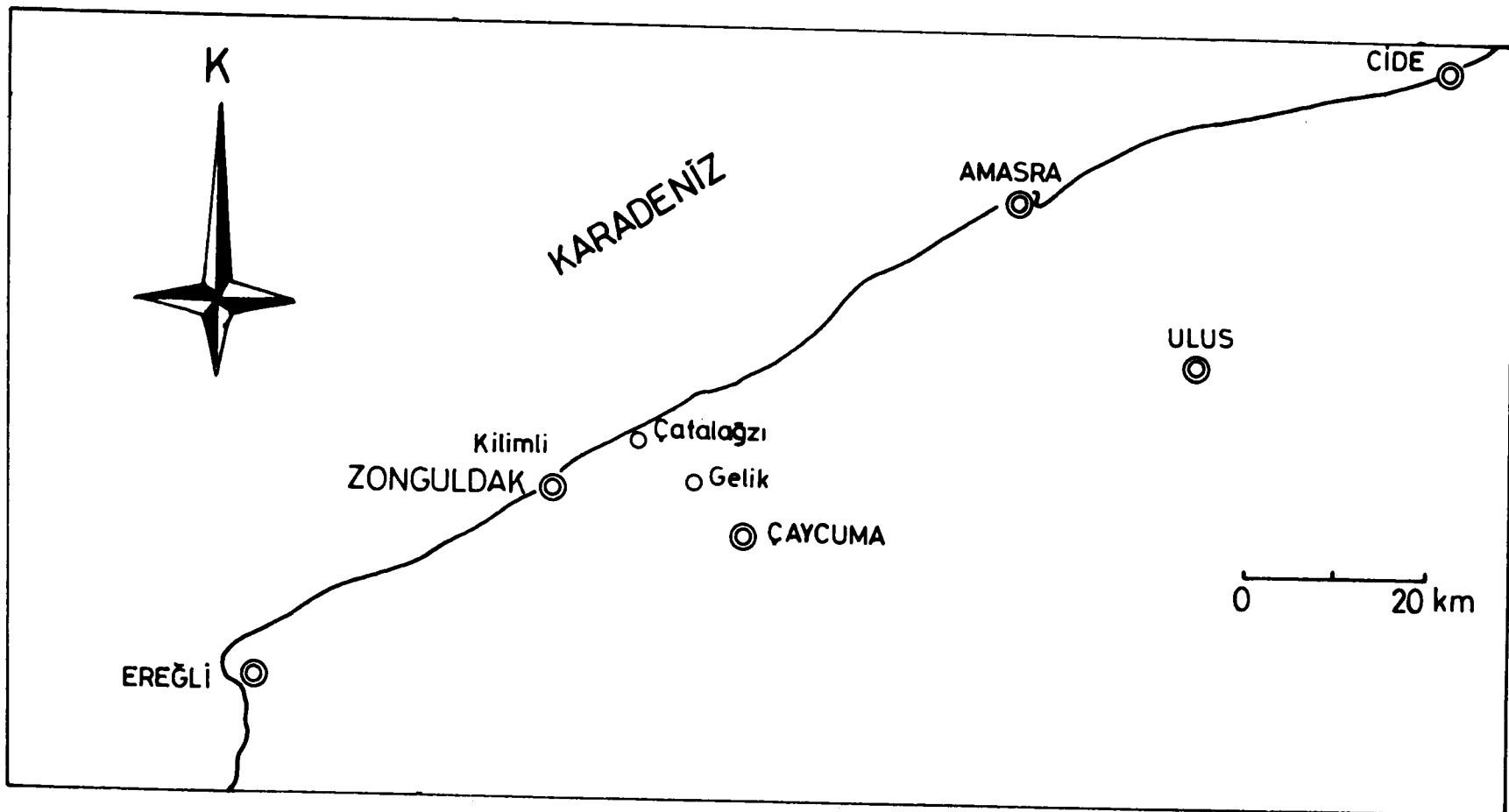
Anılan sahaya ait geniş kapsamlı iki adet jeolojik harita bulunmaktadır. Bunlardan biri 1977 - 1978 yıllarında EKİ - TKİ işbirliği ile jeolojik ve jeofizik (özdirenç) çalışmaları sonucunda hazırlanan 1/10000 ölçekli jeolojik harita (TTK, rapor no. 3), diğeri daha sonraki yıllarda MTA tarafından yapılan jeolojik haritadır (TTK, arşiv no. 141). Haritalar karşılaştırıldığında bazı yorum farklılıklarını açık olarak görülebilmektedir. Özellikle faylardaki uyumsuzluklar dikkat çekicidir. Haritalar arasındaki yorum farklılıklarının giderilmesine ve ayrıntılı çा-

ışmalara yardımcı olunması için 89 - 1 (Kilimli), 89-2 ve 89-3 (Çatalağzı), 89 - 4 ve 89 - 5 (Gelik) olarak isimlendirilen ölçü doğrultuları boyunca doğal gerilim ölçümleri yapılmıştır. Ölçü doğrultuları Apsiyen, Barremiyen ve Westfaliyen yaşı, sırası ile Fliş-Velibey kumtaşı - kireçtaşlı - İncivez serisi, Barremiyen kireçtaşlı ve karbonifer formasyonlarını içermektedir (Kaynar ve diğ. 1978).

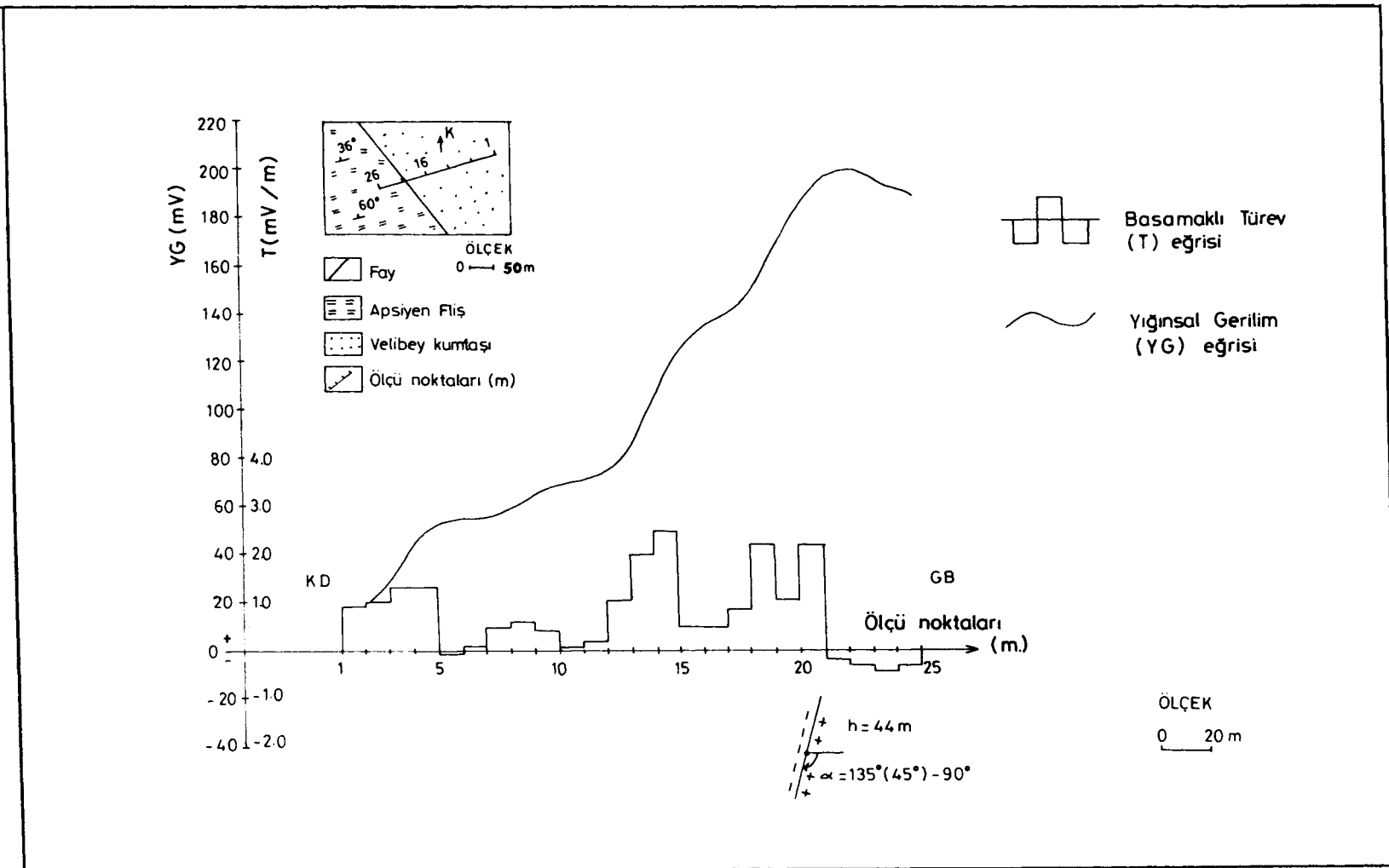
Doğal gerilim yöntemi, mineral ve çözelti arasındaki elektrokimyasal etkimededen dolayı yerde oluşan doğal elektriksel gerilimlerin ölçülmesine dayanır. Tortul ortamlarda ölçülen gerilimler, iyonik tabakalar (ionic layers), elektrofiltrasyon, pH farklıları ve electro-osmosis olarak iyi bilinen olaylarla açıklanabilirler (Parasnis 1972). Aşırı sıcaklık, sıvı akışı, geçirgenlik, iletkenlik ve basınç farklıları nedeniyle oluşan iyon konsantrasyon farkı bir gerilim farkı yaratır. Bu da yerde doğal akım akışına neden olur. Çalışılan sahada; Fliş, kumtaşı, kireçtaşlı ve

\* H.Ü. Zonguldak Mühendislik Fakültesi, Maden Mühendisliği Bölümü - ZONGULDAK

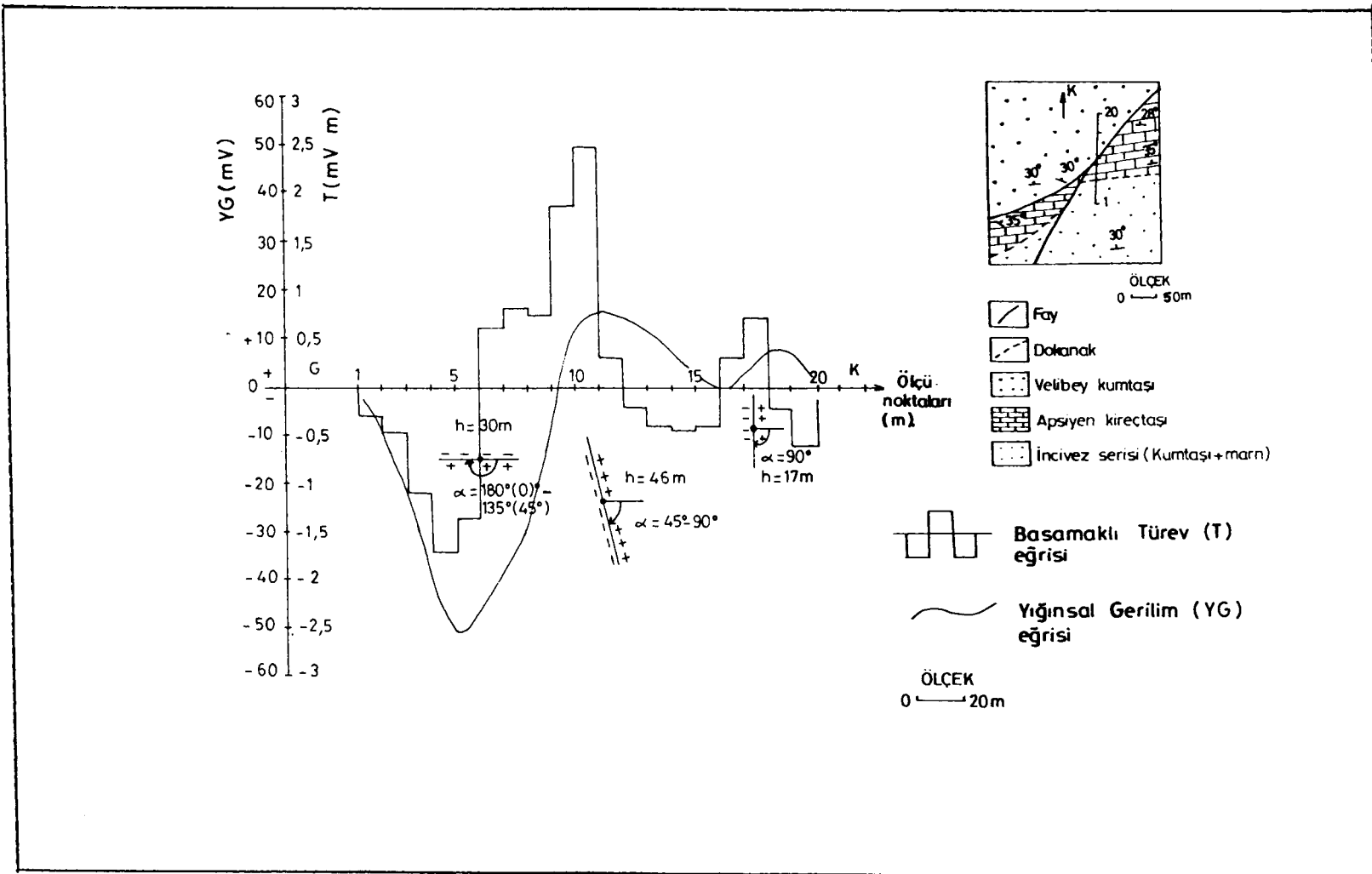
\*\* Türkiye Taşkömürü Kurumu, Aramalar Dairesi - ZONGULDAK



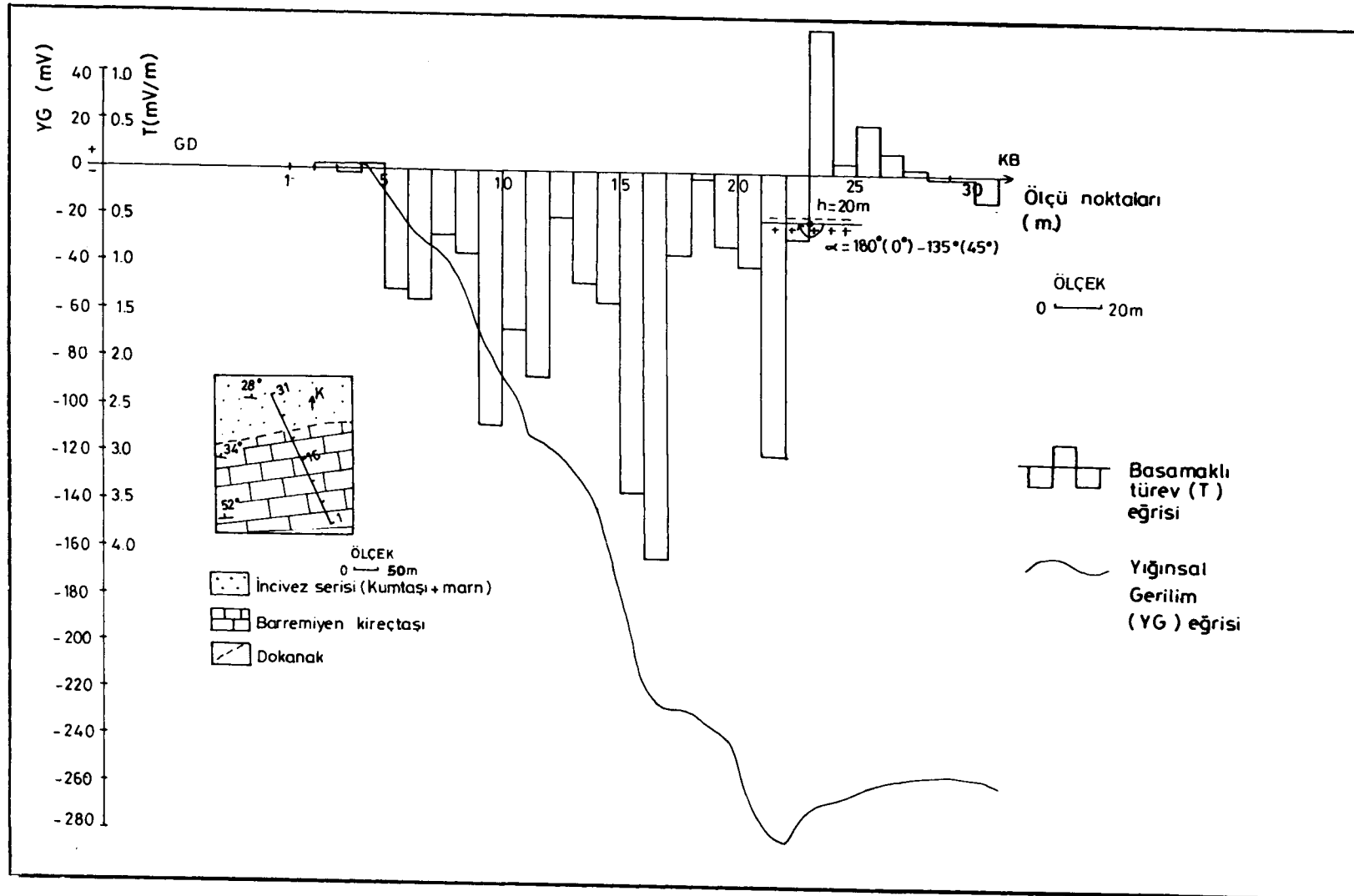
Şekil 1. Zonguldak Taşkömürü Havzasındaki Kilimli, Çatalağzı ve Gelik bölgelerinin yeri.  
Fig. 1. Location of Kilimli, Çatalağzı and Gelik Districts in the Zonguldak Hardcoal Basin.



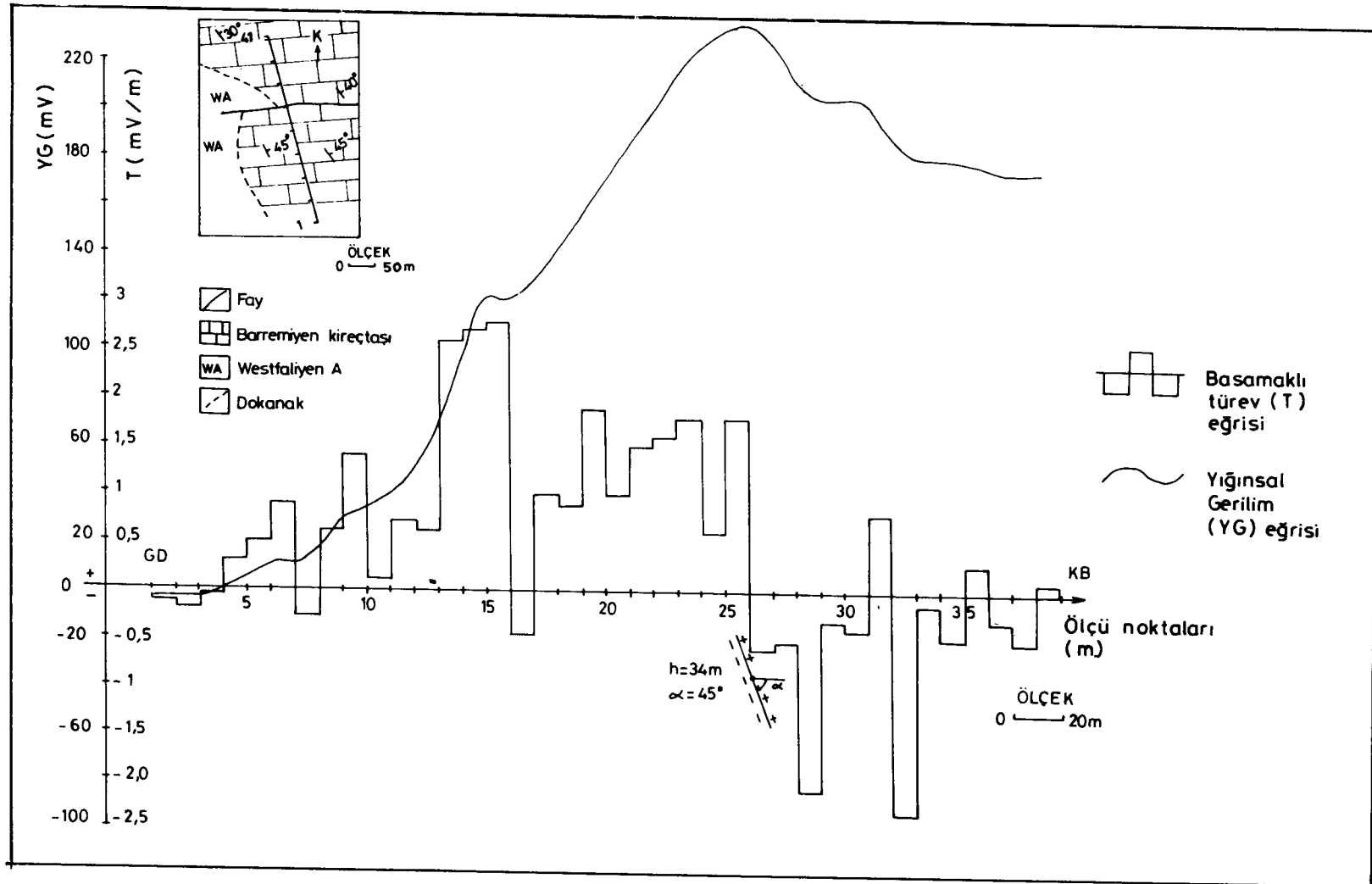
Şekil 2. 89-1 (Kilimli) doğrultusu üzerinde ölçülen doğal gerilim anomalileri, yorumu ve Kilimli Bölgesinin jeolojik haritası  
Fig. 2. SP anomalies measured on the 89-1 (Kilimli) profile, their interpretation and geological map of the Kilimli District.



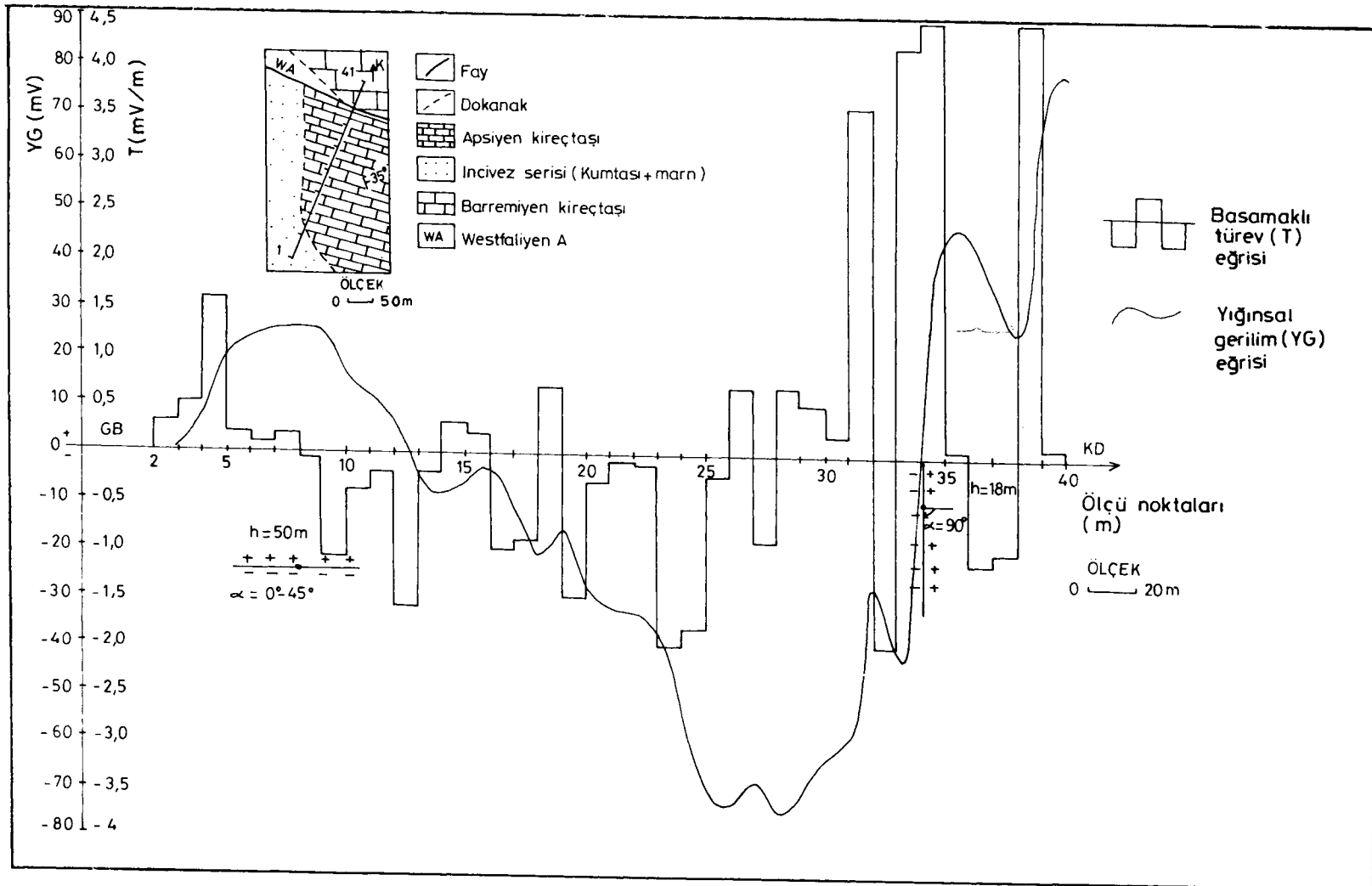
Şekil 3. 89-2 (Çatalağzı) doğrultusu üzerinde ölçülen doğal gerilim anomalileri, yorumu ve Çatalağzı Bölgesinin jeolojik haritası.  
Fig. 3. SP anomalies measured on the 89-2 (Çatalağzı) profile, their interpretation and geological map of the Çatalağzı District.



Şekil 4. 89-3 (Çatalağzı) doğrultusu üzerinde ölçülen doğal gerilim anomalileri, yorumu ve Çatalağzı Bölgesinin jeolojik haritası  
 Fig. 4. SP anomalies measured on the 89-3 (Çatalağzı) profile, their interpretation and geological map of the Çatalağzı District.



Şekil 5. 89-4 (Gelik) doğrultusu üzerinde ölçülen doğal gerilim anomalileri, yorumu ve Gelik Bölgesinin jeolojik haritası.  
Fig. 5. SP anomalies measured on the 89-4 (Gelik) profile, their interpretation and geological map of the Gelik District.



Şekil 6. 89-5 (Gelik) doğrultusu üzerinde ölçülen doğal gerilim anomalileri, yorumu ve Gelik Bölgesinin jeolojik haritası.  
Fig. 6. SP anomalies measured on the 89-5 (Gelik) profile, their interpretation and geological map of the Gelik District.

Karbonifer formasyonları arasında iletkenlik farkı bulunmaktadır (Karaoglu ve Caliskan 1987). Heiland (1946) duyarlı doğal gerilim ölçümü ile formasyon sınırlarında doğal gerilim farkları elde edilebileceğini göstermiştir. Ayrıca, sınırdaki gerilimlerin muhtemelen gözenekleri dolduran çözeltilerin iletkenlik farklarından kaynaklandığını ifade etmiştir.

Doğal gerilim yönteminde, artı iyonların bir yanda eksi iyonların diğer yanda birekmesi sonucu oluşan uçlaşma çizgisi (veya yüzeyi) araştırılır. Uçlaşma çizgisinin eğimi ve merkezi sırasıyla uçlaşma açısı (veya eğim açısı =  $\alpha$ ) ve uçlaşma odak derinliği ( $h$ ) olarak isimlendirilir (Ercan 1982). Formasyon sınırlarının ve fayların yerleri ile eğim açıları, ölçülen doğal gerilim ve elektrik alan anomalileri, Ercan (1982) tarafından uçaşmış bir küre modeli için verilen kuramsal anomaliler ile karşılaştırarak yaklaşık bulunabilir (Onur ve Ergüder 1988).

## DOĞAL GERİLİM ÖLÇÜMLERİ VE JEOLOJİK HARİTALARDA GÖRÜLEN SÜREKSİZLİKLERN YORUMU

Bitki örtüsünün yoğun olduğu sahalar, jeolojik gözlemleri olumsuz yönde etkilemektedir. Bu nedenle, böyle sahaların jeolojik çalışmalarında yorum farklılıklar ortaya çıkabilemektedir. Yorum farklılıklarının görüldüğü Kılımli, Çatalağzı ve Gelik (Zonguldak) Bölgelerinde doğal gerilim ölçümü yapılmıştır. Ölçümler, 89 - 1 (Kılımli), 89 - 2 ve 89 - 3 (Çatalağzı), 89 - 4 ve 89 - 5 (Gelik) olarak isimlendirilen doğrultular boyunca sürdürülmüştür. Ölçü doğrultuları haritalarda görülen süreksızlık yüzey izlerine yaklaşık dik olacak şekilde alınmıştır (Şekil 2 - 6). Her 50 metrede bir doğal gerilim değerindeki değişim belirlenip ölçü noktalarına dağıtılmış ve tüm ölçüler başlangıç noktasına yığılmıştır. Elde edilen yiğinsal gerilim ( $YG\ mV$ ) değerleri başlangıç noktasına göre gerilim ayırlığını simgelemektedir. Ölçü aralığına (10 m) göre türev ( $T = -E\ mV/m$ ) değerleri hesaplanmış ve  $YG$  değerleri öndeği fincanın bulunduğu noktasına,  $T$  değerleri iki fincanın orta noktasına atılarak  $YG$  eğrileri sürekli,  $T$  eğrileri ise basamak biçiminde çizilmiştir (Şekil 2-6).

Arazi eğrileri, Ercan (1982) tarafından çeşitli açılarda uçaşmış bir küre modeli için verilen kuramsal eğriler ile karşılaştırılarak değerlendirilmiştir. Şekil 2'de jeolojik haritada görülen süreksızlık diğer haritada görülmemektedir. Değerlendirme sonucunda, uçlaşma odak derinliği ve eğim açısı sırasıyla yaklaşık  $h = 44$  ve  $\alpha = 45^\circ - 90^\circ$  olan kuzeydoğu eğimli bir fayın mevcut olduğu saptanmıştır. Şekil 3 ve 4'de Çatalağzı bölgесine ait jeolojik haritalarda görülen süreksızlıklar, doğal gerilim ölçümü ile doğrulanmıştır. Şekil 3'de 6 numaralı ölçü noktası altında bulunan uçlaşma odak derinliği  $h = 30\ m$  ve eğim açısı  $\alpha = 180^\circ (0^\circ) - 135^\circ (45^\circ)$  olan süreksızlık, İncivez serisi ile Apsiyan kireçtaşı dokanağını göstermektedir. 11 numaralı ölçü noktası altındaki süreksızlığın uçlaşma odak derinliği  $h = 46\ m$ , eğim açısı yaklaşık  $\alpha = 45^\circ - 90^\circ$  bulunmuştur. Büyük Fay olarak isimlendirilen bu süreksızlığın kuzeye eğimli olduğunu

saptanmıştır. Ayrıca, 17 - 18 numaralı ölçü noktaları arasında yaklaşık  $h = 17\ m$  odak derinliği ve  $\alpha = 90^\circ$  eğim açısı olan bir süreksızlık daha bulunmuştur. Bu süreksızlık jeolojik haritalarda görülmemektedir. Şekil 4'de jeolojik haritada görülen İncivez serisi - Barremiyen kireçtaşı dokanağı, 23 numaralı ölçü noktası altında uçlaşma odak derinliği  $h = 20\ m$  ve eğim açısı  $\alpha = 180^\circ (0^\circ) - 135^\circ (45^\circ)$  olarak saptanan süreksızlıkla doğrulanmıştır. Şekil 5 ve 6'da Gelik Bölgesine ait jeolojik haritalar değerlendirilmiştir. Şekil 5'de saptanan uçlaşma odak derinliği ve eğim açısı sırasıyla  $h = 34\ m$  ve  $\alpha = 45^\circ$  olan süreksızlık MTA jeolojik haritasında gösterilen K10 fayına denk gelmektedir. Bu fayın kuzeybatı eğimli olduğu bulunmuştur. Şekil 6'da 8 numaralı ölçü noktası altında  $h = 50\ m$  ve  $\alpha = 0^\circ - 45^\circ$  olarak saptanan süreksızlık jeolojik haritada görülen İncivez serisi - Apsiyan kireçtaşı dokanağını göstermektedir. 34 ölçü noktası altında uçlaşma odak derinliği  $h = 18\ m$ , eğim açısı  $\alpha = 90^\circ$  olarak saptanan süreksızlık ise MTA jeolojik haritasında 1 Nolu Fay, EKİ - TKİ jeolojik haritasında Esenli Fayı olarak isimlendirilmiştir.

Çalışmada, genelde, uçlaşma açısı  $\alpha = 0^\circ - 45^\circ$  arası saptanan süreksızlıklar jeolojik haritalarda görülen dokanak zonlarını,  $\alpha = 90^\circ$  ve bunu yakın olarak saptanan süreksızlıklar ise fayları belirtmektedir.

## SONUÇLAR

Çalışma sahasına ait jeolojik haritalarda yorum farklılığı görülen süreksızlıklar üzerinde doğal gerilim yöntemi uygulanarak, söz konusu süreksızlıkların varlığı araştırılmıştır. Elde edilen veriler, daha sonra yapılacak ayrıntılı jeolojik çalışmalarına katkı sağlayacaktır.

Uygulaması kolay ve ekonomik olan doğal gerilim yöntemi, jeolojik gözlemleri güçlendiren yoğun bitki örtüsü ile kaplı sahalarda fay ve dokanakların belirlenmesinde başarı sağlamaktadır.

## KAYNAKLAR

- EKİ Müessesesi - TKİ Kurumu, 1978, 1/10000 Ölçekli Jeoloji Haritası, TTK Aramalar Dairesi, Jeofizik Rapor No. 3, Zonguldak.
- Ercan, A. 1982, Doğal Uçlaşma Yöntemi, ITÜ, İstanbul.
- Heiland, C.A. 1946, Geophysical Exploration, Prentice-Hall, Inc., New York.
- Karaoglu, L. ve Caliskan, S. 1987, Kılımli Büyük Fay Çalışması Raporu, TTK, No. 43, Zonguldak.
- Kaynar, A., Ergüder, F. ve Kocak, C. 1978, Zonguldak İli Kılımli Ayıcı-Kırımsa ve Deliklimeş Tepe Arası Alanın Jeolojik Jeofizik (özdirenç) Etüdü Raporu, TTK, No. 3, Zonguldak.
- MTA, 1/10000 ölçekli Karadon Sahası Jeoloji Haritası, TTK Aramalar Dairesi Teknik Büro Arşiv No. 141, Zonguldak.
- Onur, İ. ve Ergüder, F. 1988, Asker Tepe - Kılımli (Zonguldak) yöresindeki Büyük Fayın Konumunun yatay görünürt özdirenç ve doğal uçlaşma ölçümü ile saptanması, Jeofizik 2, 135 - 142.
- Parasnis, D.S. 1972, Principles of Applied Geophysics, Chapman and Hall, London.